

Abschnitt E

SEISMISCHE BEOBACHTUNGEN 1992

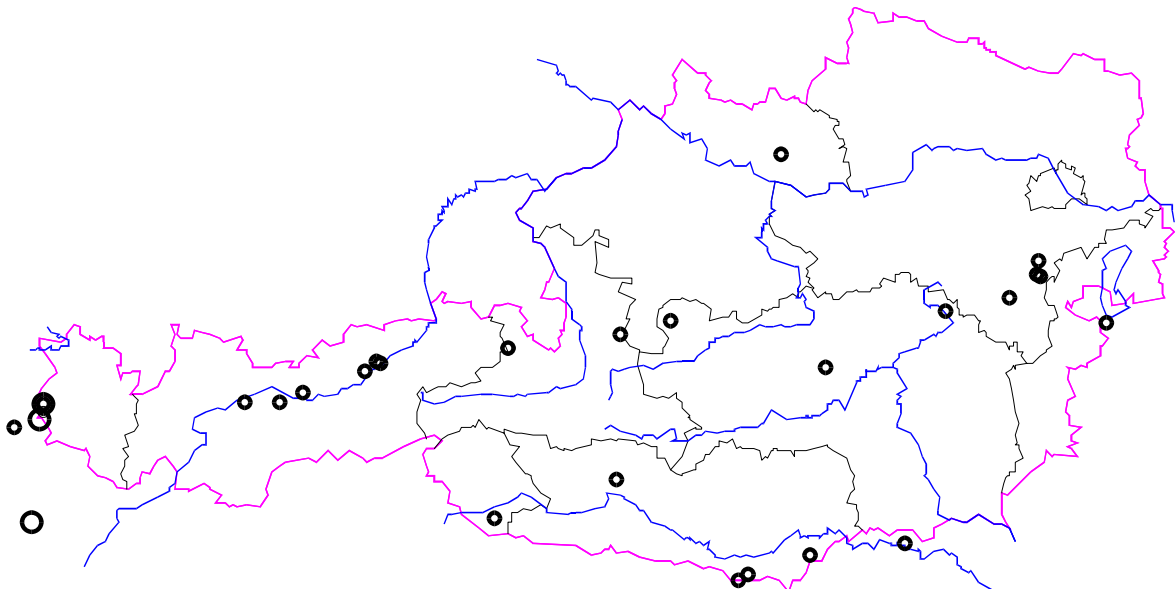
Die seismischen Beobachtungen sind im folgenden in die Abschnitte gegliedert:

- Erdbeben in Österreich (makro- und mikroseismische Beobachtungen), sowie
- ausgewählte weltweite Erdbeben (mikroseismische Aufzeichnungen)

ERDBEBEN IN ÖSTERREICH

Im Jahre 1992 wurden in Österreich mindestens 31 Erdbeben zuzüglich einiger schwacher Nachbeben wahrgenommen. 10 dieser Ereignisse wurden aus dem Ausland eingestrahlt: das Starkbeben vom 13. April im niederländisch-deutschen Grenzgebiet wurde in Österreich in höheren Gebäuden schwach vermerkt. Die Bebenserie mit dem Epizentrum bei Schaan im Fürstentum Liechtenstein wurde im westlichen Vorarlberg teils recht heftig verspürt. Sie nahm ihren Anfang am 8. Mai mit einem Erdstoß in Feldkirch in Vorarlberg, der mit einer Intensität von 6 Grad nach der 12-stufigen Mercalli-Sieberg-Skala leichte Verputzschäden an einzelnen Häusern verursachte. Das letzte Beben der Serie wurde am 2. Juni registriert.

Von den österreichischen Beben entfielen 9 auf Niederösterreich, 5 auf Kärnten, je 3 auf Tirol und die Steiermark und eines auf Oberösterreich. Die stärksten dieser durchwegs tektonischen Ereignisse waren die Beben am 31. März in Felixdorf in Niederösterreich, am 14. Mai in Jenbach in Tirol, am 15. Juni bei Inzing im Oberinntal in Tirol und das Doppelbeben vom 8. November in Wr. Neustadt, jeweils mit einer Epizentralintensität von 5 Grad. Ergänzend ist zu bemerken, daß Wr. Neustadt bereits zwischen dem 11. und 13. August das Epizentrum einer schwachen Erdbebenserie war.



Erdbeben in Österreich (1992)

AUSGEWÄHLTE WELTWEITE ERDBEBEN

Station: W i e n - Kobenzl (VKA)

B = 48° 15.9'N
L = 16° 19.1'E

Höhe ü. d. Meer: 400m
Untergrund: Sandstein

Instrumente: ein kurzperiodisches Seismometer TELEDYNE GEOTECH S-13 (Z)
ein Breitbandseismometer STRECKEISEN STS -1V (Z)

Die Auswertung aller 1992 in Wien registrierten Erdbeben sind in der Publikationsreihe "SEISMISCHE AUFZEICHNUNGEN IN WIEN" enthalten. Ein Auszug der stärksten weltweiten Ereignisse ist in der folgenden Tabelle zusammengestellt. Erklärungen zur Tabelle sind an deren Ende angeführt.

Datum 1992	Phase	UTC h m s	Distanz (km)	Bemerkungen
11.Jan.	iP	06 28 09.4 C	7 800	mb=6.1 USGS: Bucht von Bengalen
6.Feb.	iP	01 25 45.4	10 250	mb=6.3 USGS: Süd-Sumatra
13.Feb.	iPKIKP	01 48 41.0 D	15 500	mb=6.9 Ms=6.6 USGS: Vanuatu-Inseln
17.Feb.	iP	00 10 23.9 D	5 100	mb=6.3 Ms=5.9 USGS: östl. v. Sewernaja Semlja, Rußland
26.Feb.	iP	03 54 16.6 D	5 550	mb=6.2 USGS: Arabisches Meer
27.Feb.	ePKIKP	20 24 14	13 450	Ms=6.2 USGS: Region Neuguinea
2.März	iP	12 41 16.6 C	8 250	mb=7.3 Ms=7.0 USGS: 12 29 39.5 52.9°N 159.9°E vor Ostküste von Kamtschatka
3.März	iP	03 23 47.8 C	8 750	mb=6.1 USGS: Kurilen

Datum 1992	Phase	UTC h m s	Distanz (km)	Bemerkungen
4.März	ePKIKP	04 08 46	13 200	mb=6.4 USGS: Bismarck-See
5.März	eP	09 03 05	4 750	mb=6.2 Ms=5.9 USGS: Äthiopien
5.März	iP	14 50 45.6 C	8 250	mb=6.9 Ms=6.3 USGS: 14 39 10.2 52.9°N 159.6°E vor der Ostküste von Kamtschatka
7.März	iP	02 06 27.0 C	9 950	mb=6.6 USGS: Costa Rica h=79km
13.März	iP	17 22 59.4 D	2 100	mb=6.2 USGS: 17 18 39.9 39.7°N 39.6°E Ost-Anatolien, Türkei
15.März	iP	16 20 47.2 C	2 100	Ms=6.1 Ms=5.6 USGS: Ost-Anatolien, Türkei
19.März	iP	06 47 11.1 C	9 600	mb=6.4 Ms=5.9 USGS: Luzon, Philippinen
3.Apr.	iPKIKP	03 38 46.8 C	13 650	Ms=6.3 USGS: Region Neubritannien
6.Apr.	iP	14 59 20.6 D	9 500	mb=6.3 USGS: bei Sumatra
12.Apr.	iP	18 49 41.5 D	9 200	mb=6.3 Ms=5.4 USGS: südöstl. d. Ryukyu-Inseln
18.Apr.	iP	09 30 00.0 C	10 200	mb=6.3 USGS: Süd-Sumatra
19.Apr.	iP	18 44 39.5 C	9 100	mb=6.4 Ms=6.4 USGS: Taiwan
23.Apr.	eP	05 03 11	9 700	Ms=6.2 USGS: Süd-Kalifornien, USA

Datum 1992	Phase	UTC h m s	Distanz (km)	Bemerkungen
23.Apr.	iP	12 33 42.9 D	9 250	mb=6.3 Ms=5.6 USGS: südöstl. v. Ryukyu-Inseln
23.Apr.	iP	15 43 53.6 C	7 650	mb=6.4 Ms=6.0 USGS: Burma-Yunnan, China
25.Apr.	iP	18 18 41.0 C	9 400	mb=7.4 Ms=7.2 USGS: vor Nord-Kalifornien
26.Apr.	iP	07 54 15.4 C	9 450	mb=6.5 Ms=6.5 USGS: vor Nord-Kalifornien
26.Apr.	iP	11 31 01.8 C	9 450	mb=7.0 Ms=6.5 USGS: vor Nord-Kalifornien
4. Mai	iPKIKP	09 03 27.1 D	12 300	mb=6.3 USGS: Banda-See
7.Mai	iP	06 35 46.7 D	8 850	mb=6.5 Ms=5.7 USGS: Region Hokkaido, Japan
12.Mai	iPKIKP	18 25 24.8 D	16 400	Ms=6.8 USGS: Region Samoa-Inseln
15.Mai	ePKIKP	07 23 50	13 450	mb=6.9 Ms=6.7 USGS: Region Neuguinea
15.Mai	iP	08 15 33.3 C	4 400	mb=6.3 Ms=6.1 USGS: Kirgisien
17.Mai	iP	10 02 52.8 C	10 850	mb=7.2 Ms=6.9 USGS: Mindanao, Philippinen
17.Mai	iP	10 29 05.3 C	10 900	mb=7.2 Ms=7.3 USGS: Mindanao, Philippinen
18.Mai	LmV	04 15 35	12 600	Ms=6.3 USGS: vor Zentral-Chile

Datum 1992	Phase	UTC h m s	Distanz (km)	Bemerkungen
18.Mai	eP	23 32 22	10 000	mb=6.4 Ns=6.0 USGS: südl. v. Panama
19.Mai	iP	12 31 58.8 C	4 000	mb=6.4 USGS: Süd-Iran
20.Mai	iP	12 28 36.4 C	4 800	mb=6.2 Ms=6.0 USGS: Pakistan
21.Mai	iP	05 08 56.4 C	5 550	mb=6.7 Ms=5.3 USGS: unterirdischer Nukleartest Süd-Xinjiang, China
25.Mai	iP	17 07 04.3 C	8 700	mb=6.8 Ms=6.8 USGS: Region Kuba
27.Mai	iPKIKP	05 32 58.4 D	14 950	Ms=6.6 USGS: Santa-Cruz-Inseln
29.Mai	eP	22 05 09	9 650	mb=6.5 Ms=6.0 USGS: südl. v. Honshu, Japan
30.Mai	iP	12 54 50.0 C	9 700	mb=6.5 Ms=6.0 USGS: südl. v. Honshu, Japan
30.Mai	eP	16 43 04	10 150	mb=6.4 Ms=6.2 USGS: vor Chiapas, Mexiko
31.Mai	eP	06 32 52	9 700	mb=6.3 Ms=5.8 USGS: südl. v. Honshu, Japan
15.Juni	iP	02 59 41.5 C	7 300	Ms=6.3 USGS: Burma
21.Juni	ePKIKP	18 03 08	18 050	mb=6.3 Ms=6.2 USGS: Neuseeland
25.Juni	iPKIKP	06 50 47.9 C	17 500	Ms=6.4 USGS: Region Kermadec-Inseln

Datum 1992	Phase	UTC h m s	Distanz (km)	Bemerkungen	
26.Juni	eP	11 45 34.5	10 150	mb=6.3 USGS: südl.v. Panama	
28.Juni	eP	12 10 28	9 700	mb=6.7 Ms=7.8 USGS: Süd-Kalifornien, USA	
28.Juni	eP	15 18 26	9 750	mb=6.3 Ms=7.0 USGS: Süd-Kalifornien, USA	
10.Juli	iP	09 43 30.6 C	8 700	mb=6.6 Ms=6.4 USGS: Kurilen	
12.Juli	iP	11 20 52.6	8 700	mb=6.5 USGS: Region Hokkaido, Japan	
13.Juli	iP	18 24 46.1	10 550	mb=6.6 USGS: Nord-Peru km	h=97
16.Juli	iP	00 12 54.2 C	8 950	mb=6.2 Ms=6.1 USGS: bei Honshu, Japan	
17.Juli	iP	04 31 33.5 C	8 750	mb=6.2 Ms=5.1 USGS: Kurilen	
18.Juli	iP	08 49 12.0 C	8 950	mb=6.8 Ms=7.2 USGS: bei Honshu, Japan	
18.Juli	iP	10 32 24.5 C	8 950	mb=6.6 Ms=6.6 USGS: bei Honshu, Japan	
18.Juli	eP	14 09 07	8 950	mb=6.3 Ms=6.2 USGS: bei Honshu, Japan	
25.Juli	iP	03 05 45.4 C	9 000	mb=6.3 Ms=6.2 USGS: bei Honshu, Japan	
29.Juli	iP	04 43 01.8 C	8 950	mb=6.3 Ms=6.5 USGS:	

bei Honshu, Japan

Datum 1992	Phase	UTC h m s	Distanz (km)	Bemerkungen	
30.Juli	iP	08 34 43.4 D	6 450	mb=6.2 Ms=5.8 USGS: Tibet	
7.Aug.	iP	18 30 51.5 D	8 100	mb=6.4 Ms=6.5 USGS: Golf v. Alaska	
11.Aug.	iP	15 27 36.0 C	9 500	mb=6.4 Ms=6.5 USGS: südl. v. Honshu, Japan	
16.Aug.	iPKIKP	10 41 54.5 D	13 350	mb=6.1 USGS: Region Neuguinea	h=215 km
19.Aug.	iP	01 09 57.6 D	9 000	mb=6.4 Ms=5.4 USGS: Aleuten	
19.Aug.	iP	02 12 11.7 C	4 450	mb=7.1 Ms=7.5 USGS: 02 04 37.4 73.6°E Kirgisien	42.1°N
19.Aug.	iP	03 28 07.3 C	4 400	mb=6.2 Ms=6.1 USGS: Kirgisien	
24.Aug.	iP	07 11 24.6 D	8 600	mb=6.2 USGS: Region Hokkaido, Japan	h=121 km
28.Aug.	iP	18 28 22.0 C	6 200	mb=7.0 Ms=6.9 USGS: 18 18 46.4 nördl. v. Ascension	1.0°S 13.6°W
29.Aug.	iP	19 31 03.4 D	9 250	mb=6.4 USGS: bei Honshu, Japan km	h=289
1.Sep.	iP	16 53 30.4 C	9 100	mb=6.4 Ms=5.3 USGS: Taiwan	
2.Sep.	iP	06 02 35.2 C	10 950	mb=6.2 USGS: Java	h=625 km
2.Sep.	iP	10 38 51.1 D	9 300	mb=6.3 Ms=5.7	

USGS:
Utah, USA

Datum 1992	Phase	UTC h m s	Distanz (km)	Bemerkungen	
11.Sep.	iP	04 06 59.1 D	6 100	mb=7.1 Ms=6.5 USGS: Zaire	
15.Sep.	iPKHKP	21 22 56	15 350	mb=6.3 USGS: Vanuatu-Inseln km	h=184
12.Okt.	iP	13 14 46.6 D	3 350	mb=6.1 USGS: 13 09 55.5 Ägypten	29.8°N 31.1°E
15.Okt.	ePKIKP	22 56 26	15 350	Ms=6.8 USGS: Vanuatu-Inseln	
17.Okt.	iP	08 45 27.6 C	9 650	mb=6.9 Ms=6.2 USGS: Nord-Kolumbien	
18.Okt.	eP	15 24 45	9 650	mb=7.2 Ms=6.7 USGS: Nord-Kolumbien	
22.Okt.	iPKIKP	09 24 22.8 C	17 700	mb=6.6 Ms=6.6 USGS: Kermadec-Inseln	
23.Okt.	iPKIKP	23 28 24.5 C	17 700	mb=6.3 Ms=6.3 USGS: Kermadec-Inseln	
23.Okt.	iP	23 24 30.0 C	2 300	Ms=6.1 USGS: 23 19 45.2 45.1°E Georgien	42.6°N
24.Okt.	ePKIKP	08 42 57	17 600	Ms=6.3 USGS: Kermadec-Inseln	
28.Okt.	iP	07 13 16.2 C	7 700	mb=6.1 USGS: Burma	
30.Okt.	iP	03 01 49.9 D	9 600	mb=6.2 USGS: südl. v. Honshu, Japan	h=393 km

31.Okt.	ePKIKP	14 53 05	12 700	mb=6.8 Ms=5.9 USGS: bei Neuguinea	
Datum 1992	Phase	UTC h m s	Distanz (km)	Bemerkungen	
4.Nov.	LmV	03 39 00	17 050	Ms=6.3 USGS: Region Balleny-Inseln, Antarktis	
4.Nov.	iPKIKP	18 32 39.6 D	15 400	mb=6.6 USGS: Vanuatu-Inseln	
04.Nov.	LmV	22 38 25	12 400	Ms=6.1 USGS: vor Mittel-Chile	
12.Nov.	LmV	16 08 50	13 000	Ms=6.1 USGS: Süd- Atlantik	
21.Nov.	ePKIKP	22 58 06	12 300	Ms=6.1 USGS: Süd-Sandwich-Inseln	
25.Nov.	iP	06 15 21.5 C	10 050	mb=6.3 USGS: Süd-Sumatra	
28.Nov.	ePKIKP	03 32 07	12 400	Ms=6.6 USGS: vor Zentral-Chile	
30.Nov.	iP	09 40 05.3 D	4 350	mb=6.3 USGS: Region Azoren	
4.Dez.	iP	11 44 12.1 D	4 600	mb=6.1 USGS: Tadschikistan km	h=120
8.Dez.	iP	07 20 13.4 D	8 300	mb=6.4 USGS: Nikobaren	
19.Dez.	iP	12 26 01.3 D	8 300	mb=6.3 USGS: vor d. Ostküste v. Kamtschatka	
26.Dez.	eP	20 02 14	6 400	mb=6.5 Ms=6.3 USGS: Zentraler Atlantik-Rücken	

31.Dez.	ePKIKP	20 37 06	17 850	Ms=6.3 USGS: südl. d. Kermadec-Inseln
---------	--------	----------	--------	---

Erklärung zur Tabelle:

Phase	Seismologische Abkürzung des Ersteinsatzwellentyps
UTC	Ankunftszeit der Welle (UTC = Mitteleuropäische Zeit - 1 Stunde)
Bemerkungen	mb = Raumwellen-Magnitude, Ms = Oberflächenwellen-Magnitude, danach folgen Daten des USGS = United States Geological Survey (Denver, Colorado, USA): Herzzeit (UTC), geogr. Epizentralkoordinaten, h = Herdtiefe

Makroseismische Beobachtungen 1992

Datum 1992	MEZ h m	φ °N	\bullet °E	Land	Epizentralbereich	Makroseismische Daten					Bemerkungen	
						I_0 (MSK)	F_5	F_4	F_3	h		M_m
18.Feb.	07 45	46.55	14.75	K	Feistritz ob Bleiburg	4		55	(530)	7	2.5	ML=2.8 (KBA), 2.6 (LJU)
31.Mär.	23 57 +)	47.9	16.25	N	Felixdorf	5		440		8	3.2	ML=3.2 (KBA), 2.9 (VKA)
13.Apr.	02 20 +)	51.15	05.8	NL	Roermond	2*						ML=5.8 (BNS), mb=5.3 (USGS)
26.Apr.	23 27 +)	47.65	13.8	ST	Salzkammergut							ML=2.7 (WTTA, SQTA), 2.6 (FUR), 2.1 (KBA); keine Meldung
8.Mai	07 45 +)	47.2	09.5	FL	Schaan	6*				8	4.2	ML=5.0 (VKA, KBA), 4.9 (WTTA), 4.5 (FUR)
8.Mai	08 48 +)	47.2	09.5	FL	Schaan	3*						ML=3.1 (WTTA), 3.0 (KBA)
8.Mai	08 52 +)	47.2	09.5	FL	Schaan	4*						ML=4.4 (VKA), 4.3 (WTTA, KBA)
9.Mai	04 27 +)	47.2	09.5	FL	Schaan	3*						ML=2.9 (WTTA, KBA)
9.Mai	12 13 +)	47.2	09.5	FL	Schaan	3*						ML=3.3 (KBA), 3.2 (WTTA)
9.Mai	19 54 +)	47.2	09.5	FL	Schaan	3*						ML=3.3 (WTTA, KBA)
10.Mai	13 55 +)	47.2	09.5	FL	Schaan	3*						ML=2.7 (WTTA, KBA)
14.Mai	22 34 +)	47.4	11.75	T	SW v. Jenbach	5	12	90		3	2.2	ML=2.1 (SQTA), 1.8 (WTTA)
15.Mai	01 44 +)	47.2	09.5	FL	Schaan	4*						ML=4.4 (KBA, WTTA, VKA)
24.Mai	13 38 +)	46.9	13.4	K	W v. Gmünd	3						ML=2.3 (VOY), 2.2 (WTTA), 2.0 (KBA); keine Meldung
2.Jun.	13 02 +)	47.2	09.5	FL	Schaan	3*						ML=3.3 (KBA), 3.1 (WTTA), 2.9 (SEDZ)
13.Jun.	10 49 +)	47.25	10.9	T	bei Silz, Oberinntal	3-4						ML=3.3 (KBA), 2.2 (WTTA, SQTA); keine Meldung
15.Jun.	07 05 +)	47.25	11.2	T	bei Inzing, Oberinntal	5	7	88	430	3	2.3	ML=2.5 (MOTA), 2.2 (WTTA)
28.Jun.	08 37 +)	46.6	15.35	K/SL	Grenzgebiet	4-5		330		(7)	(2.7)	ML=2.4 (KBA), MD=2.6 (LJU)
28.Jul.	03 13 +)	46.5	14.3	K	S v. Ferlach	4						ML=3.2 (KBA), 3.0 (WTTA)
11.Aug.	23 40 +)	47.8	16.25	N	Wr. Neustadt	3-4						ML=2.4 (KBA), 1.7 (VKA)
12.Aug.	01 20 +)	47.8	16.25	N	Wr. Neustadt	3						ML=1.5 (VKA)
12.Aug.	05 48 +)	47.8	16.25	N	Wr. Neustadt	3						ML=1.4 (VKA)
12.Aug.	14 15 +)	47.8	16.25	N	Wr. Neustadt	4						ML=2.5 (KBA), 1.7 (VKA)
13.Aug.	12 56 +)	47.8	16.25	N	Wr. Neustadt	3-4						ML=2.5 (KBA), 1.9 (VKA)
17.Aug.	14 56 +)	47.5	12.7	S	Leoganger Steinberge							ML=3.0 (SQTA), 2.9 (MOTA), 2.1 (KBA); keine Meldung
26.Sep.	06 31 +)	47.65	15.65	ST	Kapellen	4						ML=3.2 (KBA)
23.Okt.	04 33	47.6	16.7	H	Sopronkövesd	3*						ML=2.8 (BRA), 2.4 (VKA); keine Meldung
1.Nov.	09 13	47.4	11.8	T	Jenbach-Schwaz							ML=2.7 (KBA), 2.6 (FUR); keine Meldung. Vb.:08:13 ML=1.5 (KBA)
1.Nov.	09 16	47.4	11.8	T	Jenbach-Schwaz							ML=2.1 (WTTA), 1.8 (KBA); keine Meldung
1.Nov.	09 20	47.4	11.8	T	Jenbach-Schwaz							ML=2.0 (KBA), 1.7 (WTTA); keine Meldung
1.Nov.	09 25	47.4	11.8	T	Jenbach-Schwaz							ML=2.2 (KBA), 2.1 (FUR), 1.8 (WTTA); keine Meldung. Nb.: 09:30 ML=0.4 (WTTA), 09:36 ML=1.6 (KBA, WTTA), 09:37 ML=0.9 (WTTA).
1.Nov.	10 13	47.4	11.8	T	Jenbach-Schwaz							ML=1.8 (KBA), 1.0 (WTTA); keine Meldung
8.Nov.	23 40	47.85	16.25	N	Wr. Neustadt	5	20	420		7	3.1	ML=3.1 (KBA)
8.Nov.	23 42	47.85	16.25	N	Wr. Neustadt	5						ML=2.8 (KBA). Nb.: 9.Nov. 00:07 ML=1.9 (VKA), 00:07 ML=1.5 (VKA), 00:08 ML=1.8 (VKA), 02:48 ML=1.7 (VKA).
24.Nov.	08 49	47.4	14.8	ST	Mautern-Kalwang	4-5						ML=3.2 (VKA), 2.9 (WTTA), 2.6 (KBA)
24.Nov.	23 45	48.35	14.5	O	Pregarten	4-5						ML=2.0 (VKA), 1.9 (KBA)

Datum	MEZ	ϵ ●		Land	Epizentralbereich	Makroseismische Daten					Bemerkungen	
		°N	°E			I_0 (MSK)	F_5	F_4	F_3	h		M_m
30.Nov.	12 42	46.45	14.25	K	Loiblpaß	3						ML=2.7 (KBA), 2.4 (WTTA), 2.3 (VBY)
8.Dez.	00 17	47.55	13.45	S	Tennengebirge							ML=2.5 (SQTA), 2.3 (WTTA), 1.9 (KBA); keine Meldung
14.Dez.	02 11	47.75	16.1	N	Ternitz	4-5						ML=2.9 (VKA), 2.6 (WTTA)
30.Dez.	22 34	47.9	08.15	D	südl. Schwarzwald	3*						ML=4.5 (VKA), 4.3 (SQTA), 4.1 (KBA)

MEZ	Mitteuropäische Zeit	Vb.,Nb.	Vor- und Nachbeben	KBA	seism. Station Kölnbreinsperre, Kärnten	K	Kärnten
+	Sommerzeit (MESZ), wurde in MEZ umgerechnet (MESZ - 1 Stunde)	F_n	Schüttergebiet mit mind. n° MSK ($n=3,4,5$) in km^2	SQTA	seism. Station St. Quirin, Tirol	N	Niederösterreich
ϵ 🗺	geographische Epizentralkoordinaten	h	Herdtiefe in km	MOTA	seism. Station Moosalm, Tirol	S	Salzburg
●		M_m	makroseismische Magnitude	WATA	seism. Station Walderalm, Tirol	ST	Steiermark
MSK	Medvedev-Sponheuer-Karnik Intensitätsskala	ML	Lokalmagnitude nach Richter	WTTA	seism. Station Wattenberg, Tirol	T	Tirol
I_0	Epizentralintensität	mb	Raumwellenmagnitude	VKA	seism. Station Cobenzl, Wien	D	Deutschland
		MD	Magnitude nach Dauer des Erdbebens	BNS		FL	Liechtenstein
		*	Intensität in Österreich	BRA		H	Ungarn
				FUR	seism. Station Fürstenfeldbruck, Deutschland	NL	Niederlande
				LJU	seism. Station Ljubljana, Slowenien	SL	Slowenien
				SEDZ	Schweizer Erdbebendienst, Schweiz		
				USGS	U.S. Geological Survey, USA		
				VBY	seism. Station Bojanci, Slowenien		
				VOY	seism. Station Vojsko, Slowenien		